

5. Панасюк В. В., Саврук М. П., Дацьшин А. П. Распределение напряжений около трещин в пластинах и оболочках. Киев, Наук. думка, 1976. 440 с.
6. Подстригач Я. С., Осадчук В. А. К определению напряженного состояния тонких оболочек с учетом деформаций, обусловленных физико-химическими процессами.— Физ.-хим. механика материалов, 1968, 4, № 2, с. 218—224.
7. Подстригач Я. С., Осадчук В. А. Исследование напряженного состояния цилиндрических оболочек, обусловленного заданным тензором несовместных деформаций, и его приложения к определению сварочных напряжений.— Физ.-хим. механика материалов, 1968, 4, № 4, с. 400—407.
8. Подстригач Я. С., Осадчук В. А., Федюк Е. М., Николишин М. М. Метод дисторсий в теории тонких оболочек с трещинами.— Мат. методы и физ.-мех. поля, 1975, вып. 1, с. 29—41.
9. Підстригач Я. С., Ярема С. Я. Температурні напруження в оболонках. Київ, Вид-во АН УРСР, 1961. 212 с.

Львовский филиал математической физики
Института математики АН УССР

Поступила в редколлегию
10.10.77

УДК 539.377

И. М. Зашкильняк, Г. С. Кит, В. С. Колесов, И. И. Федик

НАПРЯЖЕННОЕ СОСТОЯНИЕ ДИСКА С КРУГОВЫМИ ТЕПЛОЫДЕЛЯЮЩИМИ ВКЛЮЧЕНИЯМИ

В настоящее время важное значение для практики имеет исследование термоупругого состояния тепловыделяющих элементов. Распределение напряжений в композите с тепловыделяющими включениями, его прочность и характер разрушения зависят от многих факторов, в том числе от физико-механических и теплофизических характеристик материала включений и связующего, а также от интенсивности тепловыделения включений.

Если тепловыделяющие включения, наполняющие матрицу, расположены неравномерно и близко друг к другу, то температурные поля и поля напряжений взаимодействуют, вследствие чего возникают большие трудности при анализе напряженного состояния даже в случае плоской задачи. Эти трудности увеличиваются еще вследствие большого количества параметров, которые необходимо учитывать при расчете (отношение модулей упругости, коэффициентов Пуассона, теплопроводности и линейного расширения материалов, плотность источников тепла, геометрические характеристики композита, включений и их расположения). В то же время в случае композита, представляющего собой цилиндр с круговыми включениями, когда материал матрицы и включений имеет одинаковые характеристики, за исключением коэффициента теплового расширения, можно получить точное решение задачи и сделать некоторые выводы, относящиеся к полям напряжений в матрице и включениях.

Рассмотрим упругий диск радиуса R с n впаянными включениями радиусов r_j ($j = \overline{1, n}$). Выберем декартову систему координат xOy с началом в центре диска и введем комплексную переменную $z = x + iy = \rho e^{i\theta}$. Область, занятую j -м включением, обозначим через S_j , область матрицы — через S_0 , координату центра j -го включения — через z_j . В дальнейшем все величины с индексом j будут относиться к j -му включению, а с индексом 0 — к матрице. Контуры спая обозначим через γ_j , границу диска — через Γ .

Предположим, что материалы включений и матрицы имеют разные коэффициенты линейного теплового расширения, а остальные физико-механические характеристики у них одинаковы. Включения выделяют тепло с постоянной интенсивностью W_j . На линиях спая имеют место условия идеального теплового и механического контакта, граница диска поддерживается при постоянной температуре T^* и свободна от внешних усилий.

Для определения температурного поля воспользуемся уравнением теплопроводности

$$\Delta T_j(x, y) = Q_j S \left[-\prod_{i=1}^n (|z - z_i| - r_i) \right] \quad (j = \overline{0, n}) \quad (1)$$

при граничных условиях

$$T_0(\tau) = T^*, \quad \tau \in \Gamma, \quad (2)$$

$$T_j(\sigma) = T_0(\sigma), \quad \frac{\partial T_j}{\partial n_j} = \frac{\partial T_0}{\partial n_j}, \quad \sigma \in \gamma_j, \quad (3)$$

где Δ — оператор Лапласа; $Q_j = -\frac{W_j}{\lambda}$; $S(\xi)$ — функция Хевисайда; λ — коэффициент теплопроводности; n_j — внешняя нормаль к контуру γ_j .

Уравнение (1) и граничные условия (2), (3) удовлетворяются, если функции, описывающие температурное поле, выбрать в виде

$$\begin{aligned} T_0(x, y) &= \operatorname{Re} \sum_{i=1}^n A_i \ln \frac{R(z - z_i)}{R^2 - \bar{z}z_i} + T^*, \\ T_k(x, y) &= \operatorname{Re} \left[\sum_{i=1}^{n'} A_i \ln \frac{z - z_i}{r_i} - \sum_{i=1}^n A_i \ln \frac{R^2 - \bar{z}z_i}{Rr_i} \right] + \\ &+ \frac{Q_k}{4} [(z - z_k)(\bar{z} - \bar{z}_k) - r_k^2] + T^*, \end{aligned} \quad (4)$$

где $A_j = \frac{Q_j r_j^2}{2R}$; штрих возле суммы означает, что в ней отсутствует k -й член.

Для определения термоупругого состояния запишем условия на контурах Γ и γ_j :

$$\sigma_{nn}^0 + i\sigma_{n\tau}^0 = 0 \quad \text{на } \Gamma, \quad (5)$$

$$\sigma'_{nn} + i\sigma'_{n\tau} = \sigma_{nn}^0 + i\sigma_{n\tau}^0, \quad \frac{\partial}{\partial \tau} (u_j + iv_j) = \frac{\partial}{\partial \tau} (u_0 + iv_0) \quad \text{на } \gamma_j. \quad (6)$$

При решении задачи используем метод комплексной переменной [2—4]. Выберем комплексные потенциалы Колосова—Мухелишвили для областей S_k ($k = \overline{0, n}$) в виде

$$\begin{aligned} \Phi_k(z) &= -\frac{1}{2\pi i} \sum_{i=1}^n \frac{(-1)^{\delta_j k r_j}}{\rho_j} \int_{\gamma_j} \frac{\mu_j(\sigma) d\sigma}{\sigma - z} + \sum_{i=1}^{n'} B_i \ln \frac{\rho_i}{r_i} + \varphi_k(z) + \Phi^*(z), \\ \Psi_k(z) &= \frac{1}{2\pi i} \sum_{i=1}^n \frac{(-1)^{\delta_j k r_j}}{\rho_j} \int_{\gamma_j} \left\{ \frac{\bar{\mu}_j(\sigma)}{\sigma - z} + \frac{\mu_j(\sigma)}{\rho_j(\sigma - z)} \left[\frac{r_j^2 + \rho_j \bar{z}_j}{\sigma - z} - \frac{2r_j^2 + \rho_j \bar{z}_j}{\rho_j} \right] \right\} d\sigma - \\ &- \sum_{i=1}^{n'} B_i \frac{r_i^2 + \rho_i \bar{z}_i}{\rho_i^2} + \psi_k(z) + \Psi^*(z), \end{aligned} \quad (7)$$

где

$$\begin{aligned} \varphi_0(z) = \psi_0(z) &= 0; \quad \varphi_k(z) = \frac{H_k Q_k r_k^2}{8} - a_{01}^k; \\ \psi_k(z) &= \left(\frac{H_k Q_k r_k^2}{8} - a_{01}^k - \bar{a}_{01}^k \right) \frac{r_k^2}{(z - z_k)^2} \quad (k = \overline{1, n}); \\ a_{01}^k &= \frac{r_k}{2\pi i} \int_{\gamma_k} \frac{\mu_k(\sigma)}{(\sigma - z_k)^2} d\sigma + \varphi_k(z_k); \end{aligned}$$

$\rho_j = z - z_j$, $B_j = -A_j H_0$, $\mu_j(\sigma)$ ($j = \overline{1, n}$) — неизвестные комплексные функции контуров спая γ_j , которые удовлетворяют условию Гельдера; $\Phi^*(z)$, $\Psi^*(z)$ — голоморфные внутри области $S = \bigcup_{j=0}^n S_j$ функции; $H = \frac{\alpha E}{4(1-\nu^2)}$, $\kappa = 3 - 4\nu$, $\alpha = \alpha_t(1 - \nu)$ для плоской деформации, $H = \alpha E/4$, $\kappa = (3 - \nu)/(1 + \nu)$, $\alpha = \alpha_t$ для плоского напряженного состояния; E — модуль упругости; ν — коэффициент Пуассона; α_t — коэффициент линейного теплового расширения; δ_{jk} — символ Кронекера.

Выражения для функций $\Phi^*(z)$ и $\Psi^*(z)$ найдем, решив первую основную задачу теории упругости для диска [2] и используя при этом выражения (7) и условие (5). Тогда

$$\begin{aligned} \Phi^*(z) &= \frac{1}{2\pi i} \sum_{j=1}^n r_j \int_{\gamma_j} \left\{ \frac{\mu_j(\sigma) p_j}{\xi_j \bar{\zeta}(\sigma, z)} + \overline{\mu_j(\sigma)} \left[\frac{z}{\zeta(\sigma, z)} - \frac{R^2 \xi_j (z - \sigma)}{\zeta^2(\sigma, z)} - \frac{R^2}{\eta_j^2} \right] \right\} d\sigma - \\ &\quad - \sum_{j=1}^n B_j \left[\ln \frac{\eta_j}{R r_j} - \frac{R^2 - z_j \bar{z}_j}{\eta_j} + \frac{R^2 r_j^2}{\eta_j^2} \right] + \overline{a_{01}}, \\ \Psi^*(z) &= \frac{1}{2\pi i} \sum_{j=1}^n \int_{\gamma_j} \left\{ \frac{\mu_j(\sigma) r_j p_j^3}{\xi_j^2 \bar{\zeta}^2(\sigma, z)} - \frac{\overline{\mu_j(\sigma)} r_j p_j}{\zeta(\sigma, z)} \left[\frac{2}{\xi_j} - \frac{(z - \sigma) p_j + 2R^2 \xi_j}{\xi_j \bar{\zeta}(\sigma, z)} + \right. \right. \\ &\quad \left. \left. + \frac{2R^2 (z - \sigma) p_j}{\zeta^2(\sigma, z)} + \left(1 + \frac{2R^2}{\eta_j} \right) \frac{\overline{\mu_j(\sigma)} r_j \bar{z}_j^2}{\eta_j^2} \right] \right\} d\sigma + \\ &\quad + \sum_{j=1}^n B_j \bar{z}_j^2 \left[-\frac{1}{\eta_j} + \frac{r_j^2 + z_j \bar{z}_j}{\eta_j^2} - \frac{R^2}{\eta_j^2} \left(1 - \frac{2r_j^2}{\eta_j} \right) \right]. \end{aligned} \quad (8)$$

Здесь

$$\begin{aligned} a_{01}^* = \Phi^*(0) &= -\frac{1}{4\pi i} \sum_{j=1}^n \frac{r_j^2}{R^2} \int_{\gamma_j} \frac{\mu_j(\sigma) d\sigma}{\xi_j^2} + \sum_{j=1}^n \left(1 - \frac{z_j \bar{z}_j + r_j^2}{R^2} \right); \\ \xi_j &= \sigma - z_j; \quad p_j = r_j^2 + \xi_j \bar{z}_j; \quad \zeta(\sigma, z) = r_j^2 z - \xi_j \eta_j; \quad \eta_j = R^2 - z_j \bar{z}_j. \end{aligned}$$

При выборе функций напряжений в виде (7), (8) первое граничное условие (6) выполняется автоматически. Удовлетворяя второму условию (6), получаем систему сингулярных интегральных уравнений для определения функций $\mu_j(\sigma)$. В рассматриваемом нами случае эта система распадается на n независимых сингулярных интегральных уравнений первого рода (в случае различных механических характеристик включений и матрицы получается система сингулярных интегральных уравнений второго рода):

$$\frac{1}{\pi i} \int_{\gamma_k} \frac{\mu_k(\sigma) d\sigma}{\sigma - t_k} = A_k(t_k), \quad t_k \in \gamma_k, \quad (9)$$

где

$$\begin{aligned} A_k(t_k) &= \frac{\tau_k}{r_k} \left[H_0 F_0(t_k) - H_k F_k(t_k) + L_k + B_k \ln \frac{\tau_k}{r_k} \right], \\ \tau_k &= t_k - z_k, \quad L_k = \overline{a_{01}^k} - \frac{\kappa - 1}{8(\kappa + 1)} H_k Q_k r_k^2. \end{aligned}$$

Применяя к уравнению (9) формулу обращения интеграла типа Коши [1], получаем

$$\mu_k(t_k) = \frac{\tau_k}{r_k} \left\{ \left[\sum_{j=1}^n A_j \ln \frac{R(t_k - z_j)}{R^2 - t_k \bar{z}_j} - A_k \ln \frac{R^2 - t_k \bar{z}_k}{R r_k} + T^* \right] (H_0 - H_k) + L_k \right\}. \quad (10)$$

Используя выражения (10), по формулам (7), (8) находим комплексные потенциалы Колосова — Мухелишвили

$$\begin{aligned}
 \Phi_0(z) &= \sum_{s=1}^n B_s \ln \frac{z-z_s}{r_s} + \Phi^*(z), \\
 \Psi_0(z) &= - \sum_{s=1}^n H_{0s} \frac{r_s^2}{(z-z_s)^2} \left\{ \sum_{j=1}^{n'} A_j \ln \frac{R^2 \zeta_{3sj}}{\zeta_{4sj}} - A_s \ln \frac{\zeta_{4ss}}{Rr_s(z-z_s)} + T^* \right\} - \\
 &\quad - \sum_{s=1}^n \frac{\bar{L}_s r_s^2}{(z-z_s)^2} - \sum_{s=1}^n B_s \frac{\beta_s}{(z-z_s)^2} + \Psi^*(z), \\
 \Phi_k(z) &= H_{0k} \left[\sum_{j=1}^{n'} A_j \ln \frac{R(z-z_j)}{\eta_j} - A_k \ln \frac{\eta_k}{Rr_k} + T^* \right] + L_k - \bar{a}_{01}^k + \\
 &\quad + \frac{1}{8} H_k Q_k r_k^2 + \sum_{j=1}^{n'} B_j \ln \frac{z-z_j}{r_j} + \Phi^*(z), \\
 \Psi_k(z) &= - \sum_{s=1}^n H_{0s} \frac{r_s^2}{(z-z_s)^2} \left\{ \sum_{j=1}^{n'} A_j \ln \frac{R^2 \zeta_{3sj}}{\zeta_{4sj}} - A_s \ln \frac{\zeta_{4ss}}{Rr_s(z-z_s)} + T^* \right\} - \\
 &\quad - \sum_{s=1}^n \frac{\bar{L}_s r_s^2}{(z-z_s)^2} + \frac{r_k^2 H_{0k}}{(z-z_k)^2} \left[\sum_{j=1}^{n'} A_j \ln \frac{(z-z_j)(R^2-z_k \bar{z}_j)}{\eta_j(z_k-z_j)} - \right. \\
 &\quad \left. - A_k \ln \frac{\eta_k}{R^2-z_k \bar{z}_k} + T^* \right] - \\
 &\quad - \frac{\beta_k H_{0k}}{z-z_k} \left[\sum_{j=1}^{n'} A_j \left(\frac{1}{z-z_j} + \frac{\bar{z}_j}{\eta_j} \right) + \frac{A_k \bar{z}_k}{\eta_k} \right] - \sum_{j=1}^{n'} B_j \frac{\beta_j}{(z-z_j)^2} + \Psi^*(z), \\
 \Phi^*(z) &= - \sum_{j=1}^n \frac{R^2 r_j^2}{\eta_j^2} \left\{ \sum_{k=1}^{n'} A_k \ln \frac{R^2 \zeta_{2kj}}{\zeta_{1kj}} - A_j \ln \frac{\zeta_{1jj}}{Rr_j \eta_j} + T^* \right\} H_{0j} + L_j \Big\} - \quad (11) \\
 &\quad - \sum_{j=1}^n \frac{r_j^2}{2R^2} \left\{ \sum_{k=1}^{n'} A_k \ln \frac{R(z_j-z_k)}{R^2-z_j \bar{z}_k} - A_j \ln \frac{R^2-z_j \bar{z}_j}{Rr_j} + T^* \right\} H_{0j} + L_j \Big\} - \\
 &\quad - \sum_{j=1}^n B_j \left\{ \ln \frac{\eta_j}{Rr_j} - \frac{R^2-z_j \bar{z}_j}{\eta_j} + \frac{R^2 r_j^2}{\eta_j^2} - \frac{1}{2} \left(1 - \frac{r_j^2+z_j \bar{z}_j}{R^2} \right) \right\}, \\
 \Psi^*(z) &= \sum_{j=1}^n \left\langle \frac{r_j^2 z_j^2 (2R^2 + \eta_j)}{\eta_j^3} \left\{ \sum_{k=1}^{n'} A_k \ln \frac{R^2 \zeta_{2kj}}{\zeta_{1kj}} - A_j \ln \frac{\zeta_{1jj}}{Rr_j \eta_j} + T^* \right\} H_{0j} + L_j \right\rangle + \\
 &\quad + H_{0j} R^2 r_j^2 \left[\sum_{k=1}^{n'} A_k \frac{R^2 - z_k \bar{z}_k}{\zeta_{1kj} \zeta_{2kj}} + A_j \frac{\bar{z}_j}{\eta_j \zeta_{1jj}} \right] \left[\frac{z_j (R^2 + \eta_j)}{\eta_j^2} + \frac{1}{z} \right] - \\
 &\quad - \frac{r_j}{z^2} H_{0j} \left[\sum_{k=1}^{n'} A_k \ln \frac{\zeta_{2kj} (R^2 - z_j \bar{z}_k)}{\zeta_{1kj} (z_j - z_k)} - A_j \ln \frac{\zeta_{1jj}}{\eta_j (R^2 - z_j \bar{z}_j)} \right] + \\
 &\quad + \sum_{j=1}^n B_j \bar{z}_j^2 \left[- \frac{1}{\eta_j} + \frac{r_j^2 + z_j \bar{z}_j}{\eta_j^2} - \frac{R^2}{\eta_j^2} \left(1 - \frac{2r_j^2}{\eta_j^2} \right) \right], \quad \beta_s = r_s^2 + (z-z_s) \bar{z}_s, \\
 \zeta_{1sj} &= (R^2 - z_s \bar{z}_j) (R^2 - z \bar{z}_s) - r_s^2 z \bar{z}_j, \quad \zeta_{2sj} = r_s^2 z - (z_j - z_s) (R^2 - z \bar{z}_s), \\
 \zeta_{3sj} &= (\bar{z}_s - \bar{z}_j) (z - z_s) + r_s^2, \quad \zeta_{4sj} = (z - z_s) (R^2 - z_j \bar{z}_s) - r_s^2 z_j, \quad H_{0j} = H_0 - H_j.
 \end{aligned}$$

Располагая комплексными потенциалами (11), можно определить напряженное состояние в любой точке диска. В частности, если диск нагрет

до постоянной температуры T^* , то напряженное состояние определяем по формулам

$$\sigma_{\rho\rho}^k + \sigma_{\theta\theta}^k = -8T^* \operatorname{Re} \sum_{j=1}^n H_{0j} \left[\frac{R^2 r_j^2}{(R^2 - z\bar{z}j)^2} + \frac{r_j^2}{2R^2} - \frac{\delta_{jk}}{2} \right],$$

$$\sigma_{\rho\rho}^k + i\sigma_{\rho\theta}^k = -2T^* \sum_{j=1}^n H_{0j} \left\{ \left[2 \operatorname{Re} \frac{R^2 r_j^2}{(R^2 - z\bar{z}j)^2} + \frac{r_j^2}{2R^2} - \frac{\delta_{jk}}{2} \right] + e^{2i\theta} r_j^2 \times \right.$$

$$\left. \times \left[\frac{1 - \delta_{jk}}{(z - zj)^2} + \frac{\bar{z}_j^2}{(R^2 - z\bar{z}j)^2} - \frac{2R^2 \bar{z}_j (z - \bar{z}j)}{(R^2 - z\bar{z}j)^3} \right] \right\} \quad (k = \overline{0, n}).$$

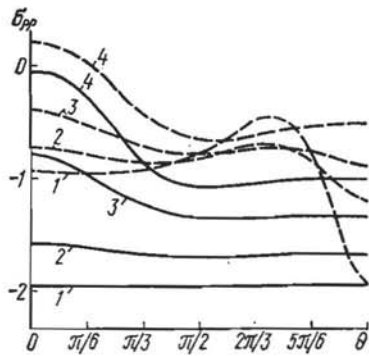


Рис. 1

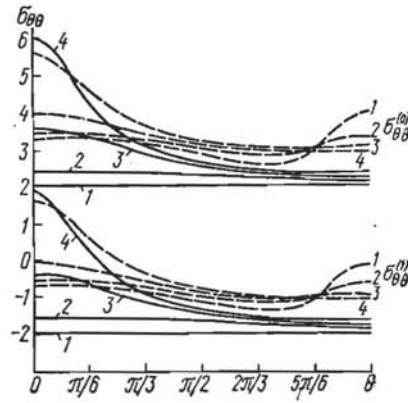


Рис. 2

На рис. 1—3 приведены зависимости величины напряжений $\sigma_{ij}^* = \frac{\sigma_{ij}(1+\kappa)}{2\mu\alpha_0 T^*}$ на спале ($\sigma_{\rho\rho}^*$, $\sigma_{\theta\theta}^{(1)*}$, $\sigma_{\theta\theta}^{(0)*}$) и на границе диска ($\sigma_{\theta\theta}^*$) от угловой координаты θ для случая одного (сплошные линии) и двух симметрично размещенных на диаметре диска (штриховые линии) включений при постоян-

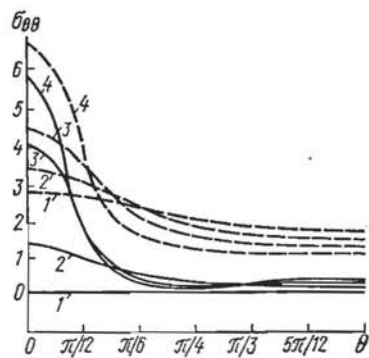


Рис. 3

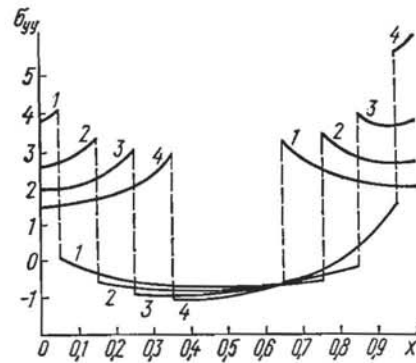


Рис. 4

ной температуре T^* . Подсчеты произведены для следующих параметров: $\alpha_1/\alpha_0 = 2$, $z_1/r_1 = 3$, $\delta = \frac{r_1}{R - z_1} = 0,1; 0,4; 0,7; 0,9$ для случая одного включения, $\alpha_1/\alpha_0 = 2$, $\frac{r_1}{R} = \frac{r_2}{R} = 0,3$; $\frac{z_1}{R} = \frac{z_2}{R} = a = 0,35; 0,45; 0,55; 0,65$ для случая двух включений. Кривые 1 на всех рисунках соответствуют параметрам $\delta = 0,1$ для одного включения, $a = 0,35$ для двух включений, кривые 2 для $\delta = 0,4$, $a = 0,45$, кривые 3 для $\delta = 0,7$, $a = 0,55$ и кривые 4 для $\delta = 0,9$, $a = 0,65$.

Как видно из графиков, напряжения $\sigma_{\theta\theta}^{(1)*}$, $\sigma_{\rho\rho}^*$ почти для всех случаев δ и a отрицательны, а напряжения $\sigma_{\theta\theta}^{(0)*}$, $\sigma_{\theta\theta}^*$ — положительны, причем для одного включения по мере приближения его к границе диска напряжения увеличиваются и достигают максимального значения при $\theta = 0$. Если же в диске имеются два включения, то максимальные значения достигаются при $\theta = 0$, когда включения находятся в непосредственной близости от границы диска. По мере их сближения (т. е. отдаления от границы диска) напряжения уменьшаются в окрестности этой точки и увеличиваются в окрестности точки $\theta = \pi$.

Подсчеты произведены также для большего числа циклически размещенных включений ($n = 3, 4, 5, 6$). Из анализа полученных результатов следует, что с увеличением числа включений напряжения на спае возрастают, а кольцевые напряжения на границе диска имеют колебательный характер, причем с тем большей амплитудой, чем больше n .

На рис. 4 приведены значения напряжений σ_{yy}^* на диаметре диска в случае двух включений. Как видно из графика, максимального значения напряжения достигает при приближении включения к границе диска в точке $x = 1$ (кривая 4).

ЛИТЕРАТУРА

1. Гахов Ф. Д. Краевые задачи. М., Физматгиз, 1963. 640 с.
2. Мусхелишвили Н. И. Некоторые основные задачи математической теории упругости. М., Наука, 1966. 708 с.
3. Прусов И. А. Некоторые задачи термоупругости. Минск, Изд-во Белорус. ун-та, 1972. 198 с.
4. Савин Г. Н. Распределение напряжений около отверстий. Киев, Наук. думка, 1968. 888 с.

Львовский филиал математической
физики Института математики
АН УССР

Поступила в редколлегию
10.10.77

УДК 539.377

М. Г. Кривцун

ПРЕДЕЛЬНОЕ РАВНОВЕСИЕ ПЛОСКОСТИ С ПЕРИОДИЧЕСКОЙ СИСТЕМОЙ ТЕПЛОИЗОЛИРОВАННЫХ ТРЕЩИН ВДОЛЬ ДУГ ЭЛЛИПСОВ

Напряженное состояние плоскости с периодической системой прямолинейных разрезов исследовано в работах [1, 2]. В работе [3] получены интегральные уравнения стационарных задач теплопроводности и термоупругости для бесконечной изотропной плоскости с периодической системой криволинейных разрезов и указан метод их решения численным путем. В настоящей работе исследовано напряженное состояние плоскости с периодической системой теплоизолированных трещин, расположенных вдоль дуг эллипсов, обусловленное возмущением однородного теплового потока q , направленного под углом β к оси Ox . Пусть берега трещин свободны от внешних усилий, а на бесконечности заданы главные значения напряжений $N_1 = p$ и $N_2 = \lambda_p p$. Угол между осью Ox и линией действия напряжений N_1 обозначаем через θ . Температурное поле ищем в виде

$$T(x, y) = 2 \operatorname{Re} F(z), \quad F(z) = \frac{1}{2} q e^{-i\beta} z + \frac{1}{2di} \int_{\tau_1}^{\tau_2} \gamma(\tau) \operatorname{ctg} \frac{\pi(\tau - z)}{d} d\tau, \quad (1)$$

где d — расстояние между центрами соседних эллипсов (период задачи); τ_1, τ_2 — комплексные координаты вершин трещины, расположенной вдоль дуги эллипса с центром в начале координат, точки которой выражаются